

## КРАТКИЕ СООБЩЕНИЯ АТОМНАЯ И ЯДЕРНАЯ ФИЗИКА

УДК 537.531.15

### МОДЕЛИРОВАНИЕ РАДИОИЗЛУЧЕНИЯ АТМОСФЕРНЫХ ЛИВНЕЙ СВЕРХВЫСОКИХ ЭНЕРГИЙ

**Н. Н. Калмыков, А. А. Константинов, Р. Энгель<sup>\*</sup>**  
(НИИЯФ)

E-mail: elan@eas.sinp.msu.ru

**Выполнен расчет радиоизлучения широких атмосферных ливней (ШАЛ) с энергией до  $10^{17}$  эВ. Результаты по пространственному распределению радиоизлучения находятся в хорошем соответствии с данными эксперимента LOPES-10.**

#### Введение

В 2004 г. в составе установки KASCADE [1] начал работать эксперимент LOPES [2], нацеленный на изучение радиоизлучения ШАЛ и разработку на его основе метода регистрации космических лучей с энергией выше  $10^{17}$  эВ [3]. LOPES призван выполнить начальную калибровку радиометода и тестирование количественной модели радиоизлучения ШАЛ.

В настоящей работе представляются результаты моделирования пространственного распределения радиоизлучения вертикального ШАЛ с энергией  $10^{17}$  эВ. Сравнение результатов расчета с экспериментальными данными LOPES-10 (10 — число радиоантенн, входящих в установку) проводится на расстояниях до 300 м от оси ливня на частотах 40 и 80 МГц.

#### Моделирование

Расчет радиоизлучения ШАЛ осуществлялся с помощью специально созданной программы, суммирующей излучение от отдельных частиц ливня. Для моделирования электрон-фотонной компоненты ШАЛ использовался код EGSnrc [4]. Плотность и оптические свойства земной атмосферы менялись дискретно с шагом 9.5 г/см<sup>2</sup>. Величина и направление геомагнитного поля соответствуют значениям этих параметров в месте проведения эксперимента LOPES [2].

В приближении Фраунгофера фурье-компоненты электрического поля на частоте  $\omega = 2\pi\nu$ , создаваемая электроном  $e$ , который движется прямолинейно и равномерно со скоростью  $\mathbf{u}$  в промежутке времени от  $t_0$  до  $t_0 + \Delta t$ , равна

$$\mathbf{E}_\omega(x_\alpha) = \frac{e}{8\pi^2\varepsilon_0 c} \frac{e^{ikR}}{R} e^{i\omega(t_0 - ne_R\xi_0/c)} \times \\ \times \left( \frac{e^{i\omega\Delta t(1-ne_R\beta)} - 1}{1 - ne_R\beta} \right) \beta_\perp, \quad (1)$$

где  $\varepsilon_0$  и  $c$  — соответственно диэлектрическая постоянная и скорость света в вакууме,  $k = n\omega/c$ ,  $n$  — показатель преломления воздуха,  $R$  — расстояние от электрона до точки приема радиосигнала  $x_\alpha$ ,  $\mathbf{e}_R = \mathbf{R}/R$ ,  $\xi_0$  — радиус-вектор электрона в момент  $t_0$ ,  $\beta = \mathbf{u}/c$ ,  $\beta_\perp = -[\mathbf{e}_R, [\mathbf{e}_R, \beta]]$ . Излучение считалось по формуле (1) для всех частиц выше порога моделирования 100 кэВ.

В настоящее время прямое моделирование ливней методом Монте-Карло ограничено энергией  $10^{15}$  эВ. Традиционным средством повышения предела по энергии является сегодня «источение» ливней, предложенное в работе [5]. К сожалению, для расчета радиоизлучения ШАЛ названный метод дает выигрыш не более 10 раз, поскольку в радиоволновом диапазоне очень велика роль частиц именно низких энергий (много меньше критической, равной 81 МэВ). Моделирование радиоизлучения от одного вертикального ливня, образованного фотоном с энергией  $E_0 = 10^{17}$  эВ, стало возможно за счет использования кластера компьютеров (KASCADE, Институт ядерной физики, Карлсруэ). Источение ливня проводилось для частиц с энергией ниже 20 ГэВ, что позволяло рассчитывать радиополе на расстояниях до 300 м. Пространственное распределение радиоизлучения было получено на четырех направлениях от оси ливня на частотах 40 и 80 МГц. При одновременной работе 50 процессоров (частота каждого около 2 ГГц) весь расчет занял один месяц.

<sup>\*</sup> Форшунгсцентрум Карлсруэ. Институт ядерной физики, 3640, D-76021 Карлсруэ, Германия.

## Результаты

Расчет радиоизлучения был произведен для ливня, соответствующего средней каскадной кривой. Продольный профиль этого ливня представлен на рис. 1.

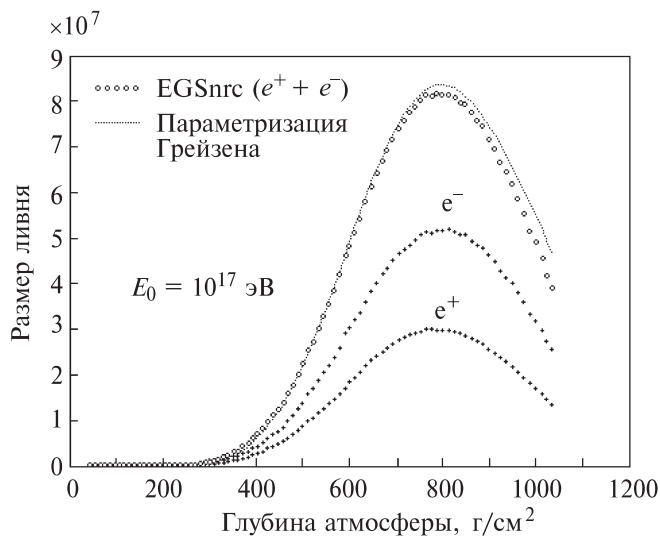


Рис. 1. Продольный профиль вертикального ливня с энергией  $E_0 = 10^{17}$  эВ:  $e^-$  — число электронов,  $e^+$  — число позитронов,  $e^- + e^+$  — их сумма

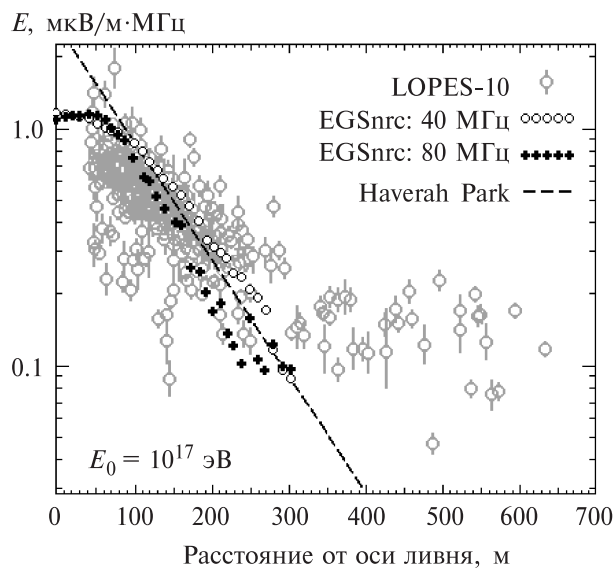


Рис. 2. Пространственное распределение радиоизлучения. Сравниваются результаты настоящей работы (EGSnrc), данные эксперимента LOPES-10 [6] и аппроксимация данных Haverah Park [7]

Результат сравнения теоретической напряженности радиоизлучения с данными LOPES-10 показан на рис. 2, где расчетное поле усреднено по северному, южному, западному и восточному направлениям наблюдения. Экспериментальная зависимость амплитуды радиосигналов ШАЛ построена по выборке

из 372 событий, набранных за 6 месяцев работы LOPES-10 [6]. В выборке представлены ШАЛ с энергиями от  $5 \cdot 10^{16}$  до  $6 \cdot 10^{17}$  эВ. Как видно, результаты расчета хорошо описывают поведение экспериментальных точек. Простая экстраполяция расчетных кривых на расстояния более 300 м при данном уровне истончения (20 ГэВ) не представляется возможной.

На том же рисунке приведена аппроксимация данных эксперимента Haverah Park [7]. Рассматриваемая аппроксимация, полученная для ШАЛ с энергиями от  $10^{17}$  до  $10^{18}$  эВ и с углами прихода меньше  $35^\circ$ , справедлива в интервале расстояний до 300 м (при частоте 55 МГц). Данные Haverah Park хорошо соответствуют рассчитанному радиополю на расстояниях 100–300 м. Разница при расстояниях  $R$  менее 100 м связана с тем, что зависимость вида  $f(R) \sim \exp(-R/(110 \text{ м}))$  [7] плохо описывает данные в этом интервале расстояний [7, 8].

## Заключение

Реальная граница прямого монте-карловского моделирования радиоизлучения ( $10^{15}$ – $10^{16}$  эВ) еще очень далека от области предельно высоких энергий ( $10^{20}$  эВ и выше). Принципиально повысить энергию первичной частицы можно только в рамках макроскопического подхода, рассматривающего ШАЛ в терминах электрических моментов и токов, приобретаемых им за счет накопления избытка электронов и систематического разделения электронов и позитронов в геомагнитном поле. Собственно, только эти два (чисто коллективных) эффекта в развитии атмосферных ливней и вызывают их радиоизлучение [3]. Естественно поэтому перейти от моделирования траекторий отдельных частиц к расчету избытка электронов и геомагнитной поляризации ШАЛ как функций глубины.

Работа выполнена при финансовой поддержке INTAS (грант 05-109-5459).

## Литература

1. Antoni T., Apel W.D., Badea A.F. et al. // Astropart. Phys. 2005. **24**. P. 1.
2. <http://www.lopes-project.org>.
3. Аскарьян Г.А. // ЖЭТФ. 1961. **41**. С. 616.
4. <http://www.irs.inms.nrcc.ca/EGSnrc/pirs701>.
5. Hillas A.M. // Proc. 17 Int. Cosmic Ray Conf. Paris. 1981. **8**. P. 193.
6. Apel W.D., Asch T., Badea A.F. et al., LOPES Collab. // Astropart. Phys. 2006. **26**. P. 332.
7. Allan H.R. // Progress in Elementary Particle and Cosmic Ray Physics. Amsterdam. 1971. **10**. P. 171.
8. Vernov S.N., Kristiansen G.B., Abrosimov A.T. et al. // Proc. 11th Int. Cosmic Ray Conf. Budapest, 1969.

Поступила в редакцию  
23.03.07